



IRANIAN SOCIETY of
CRYSTALLOGRAPHY
and MINERALOGY

Vol. 17, No. 1, Spring 1388/2009

IRANIAN JOURNAL of
CRYSTALLOGRAPHY
and MINERALOGY

Mineral chemistry of ultramafic rocks from the Southern Caspian Sea Ophiolite (Eastern Guilan): evidence for a high-pressure crystal fractionation

M. Salavati¹, A.Kananian², A. Samadi Soofi³, F. Zaeimnia²

1-Department of Geology, Lahijan Branch, Islamic Azad university

2-School of Geology, College of Science, University of Tehran

3- Department of Geology, Science and Research Branch, Islamic Azad University, Tehran, Iran

Email:Salavati2007@Gmail.com

(Received: 5/4/2008, in revised form: 14/12/2008)

Abstract: The Southern Caspian Sea ophiolite complex (SCO) is one of the Late Cretaceous discontinuous oceanic lithosphere remnants in northern Iran. These complex is almost a complete sequence from bottom to top, ultramafic cumulates, layered gabbros, isotropic gabbros, dike complex and basaltic lavas which is covered by Late Cretaceous (Companion-maaestirchtian) pelagic limestone. Crustal ultramafic cumulative rocks are mainly composed of dunite, wehrlite, olivine clinopyroxenite and clinopyroxenite. The crystallization order in the ultramafic rocks is: olivine (with high Mg# in clinopyroxene) + clinopyroxene (cumulus and with high Mg#) + olivine (intercumulus and with low Mg#). The mineral chemistry of the ultramafic cumulates of the Southern Caspian Sea ophiolite (SCO) is not consistent with crystal–liquid fractionation of primitive mid oceanic ridge basalts at low pressures. The presence of highly magnesian clinopyroxene (Mg# = 81-90), homogenous composition of clinopyroxene, absence of zoning in clinopyroxene together with the absence of plagioclase, as early fractionating phases, indicate medium- to high-pressure (up to 10 kbar) crystal fractionation of primary basaltic melts. Mineralogical and geochemical data suggest that the ultramafic cumulates are distinct from rocks in mid oceanic ridge ophiolites. Mineral composition of clinopyroxene show that the ultramafic rocks of Southern Caspian Sea ophiolite, were formed from the basaltic magma in an island arc/suprasubduction zone tectonic setting.

Keywords: Ultramafic cumulates, Southern Caspian Sea, high-pressure crystal fractionation, Suprasubduction zone.



شیمی کانی‌های اصلی سنگ‌های اولترامافیک مجموعه افیولیتی جنوب دریای خزر (خاور گیلان): شواهدی از تفریق بلور در فشار بالا

مزگان صلواتی^۱، علی کنعانیان^۲، علیرضا صمدی صوفی^۳، فاطمه زعیمنیا^۴

۱- گروه زمین‌شناسی، دانشکده علوم پایه، دانشگاه آزاد اسلامی واحد لاهیجان

۲- دانشکده زمین‌شناسی، پردیس علوم، دانشگاه تهران

۳- گروه زمین‌شناسی، دانشکده علوم پایه، دانشگاه آزاد اسلامی واحد علوم تحقیقات تهران

پست الکترونیکی: Salavati2007@Gmail.com

(دریافت مقاله: ۸۷/۱/۱۷، نسخه نهایی: ۸۷/۹/۲۴)

چکیده: مجموعه افیولیتی جنوب دریای خزر یک قطعه باقیمانده از لیتوسفر اقیانوسی کرتاسه پایانی در شمال ایران است. سنگ‌های این مجموعه، زنجیره نسبتاً کاملی است که از پایین به بالا به ترتیب عبارتند از: کومولاهای اولترامافیک، گابروهای لایه‌ای، گابروهای توده‌ای، مجموعه‌های دایکی و گدازه‌های آتش‌شانی که با آهک‌های میان دریایی کرتاسه پایانی (کامپانین - مائستریشتین) پوشیده شده‌اند. سنگ‌های انباشتی اولترامافیک اساساً دونیت، ورلیت، الیوین کلینوپیروکسنیت و کلینوپیروکسنیت را شامل می‌شوند. بررسی‌های سنگ‌شناختی نشان می‌دهند که ترتیب بلور در انباشتی‌های اولترامافیک عبارتند از: الیوین (کمی به صورت محبوس در کلینوپیروکسن با# Mg بالا) + کلینوپیروکسن (انباشت با# Mg بالا) + الیوین (میان انباشت (Intercumulus) با# Mg پایین). شیمی کانی‌ها در انباشت‌های اولترامافیک مغایر با تفریق بلوری از یک مagma بازالتی در پشتۀ میان اقیانوسی در فشار پایین است. حضور کلینوپیروکسن‌های با# Mg بالا (۸۱-۹۰) به عنوان اولین فاز تفریقی، ترکیب یکنواخت کلینوپیروکسن‌ها، نبود منطقه‌بندی در این کانی‌ها و نیز پلاژیوکلاز در این سنگ‌ها معرف تفریق بلور در فشارهای متوسط تا بالا از یک آبگون بازالتی اولیه است. مجموع داده‌های ژئوشیمیایی و کانی‌شناختی، تمایز انباشت‌های اولترامافیک از سنگ‌های پشتۀ میان اقیانوسی را نشان می‌دهند. ترکیب کلینوپیروکسن‌ها نشان‌دهنده این است که سنگ‌های اولترامافیک افیولیت جنوب دریای خزر از یک magma بازالتی در یک منطقه فرافورانشی قوسی تشکیل شده‌اند.

واژه‌های کلیدی: انباشت‌های اولترامافیک، افیولیت جنوب دریای خزر، تفریق بلوری فشار بالا، فرافورانشی.

کیلومتر مربع در شمال ایران، در سواحل جنوبی دریای خزر قرار گرفته و تا کنون، جز چند گزارش مقدماتی، بررسی‌های کاملی در مورد آن صورت نگرفته است. مجموعه افیولیتی جنوب دریای خزر با گسترشی بالغ بر ۱۸۰۰ کیلومتر مربع در بخش‌های جنوب و جنوب باختری شهرستان املش در خاور استان گیلان بیرون‌زدگی دارد، و به دلیل قرار گرفتن در مناطق جنگلی شمال کشور و نبود

مقدمه
افیولیت‌های ایران بخشی از افیولیت‌های تیسی خاورمیانه‌اند که به دلیل قرار گرفتن در موقعیت جغرافیایی خاص خود دارای اهمیت بوده و از لحاظ روابط صحرایی بسیار پیچیده‌اند. یکی از این افیولیت‌های پیچیده مجموعه افیولیتی جنوب دریای خزر است که تقریباً یکی از کاملترین مجموعه‌های اقیانوسی را تشکیل می‌دهد. این مجموعه با رخمنوی بیش از ۱۸۰۰

بخش بالایی مجموعه، سن این مجموعه به کرتاسه پایانی نسبت داده شده است [۶] [۷]. متأسفانه بخش گوشه‌ای به دلیل جنگل‌های انبوه و عدم دسترسی مناسب در منطقه قابل رویت نیست، و به همین دلیل هیچ رخنمونی از سنگ‌های هارزبورژیتی و لرزولیتی دیده نمی‌شود. در پایین‌ترین بخش قابل رویت مجموعه افیولیتی جنوب دریای خزر، سنگ‌های اولترامافیک به صورت مجموعه‌های انباسته دیده می‌شوند. سنگ‌های اولترامافیک تنها حدود ۱۰ درصد از کل گستره افیولیتی را شامل می‌شوند و تنها در مسیر جاده بیلاقی روستای جواهردشت در ارتفاعات سماموس قابل رویتند (شکل ۲B). این بخش شامل مقدار بسیار اندکی دونیت، ورلیت، الیوین کلینوپیروکسنیت و کلینوپیروکسنیت است. حجم دونیت‌ها بسیار اندک بوده و تنها به صورت عدسی‌ها یا دایک‌های کوچکی در داخل کلینوپیروکسنیت‌ها دیده می‌شوند. واحد گابرویی حدود ۳۰ درصد از سنگ‌های مجموعه را به خود اختصاص داده است، و به ترتیب از قاعده به رأس مجموعه، گابروهای لایه‌ای در بالای سنگ‌های اولترامافیک و گابروهای توده‌ای در بالای گابروهای لایه‌ای رخنمون دارند.

گابروهای لایه‌ای توده‌های نفوذی کوچکی را در رأس مجموعه الترامافیک تشکیل می‌دهند. این سنگ‌ها از تنوع گسترده‌ای برخوردار بوده و انواع تروکتولیتها، الیوین گابروها تا آنورتوزیتها در آنها دیده می‌شوند. هر یک از لایه‌های سازنده گابروی لایه‌ای، ضخامت متفاوتی از چند سانتیمتر تا ۸۰ cm دارند (شکل ۲A). عامل پیدایش لایه‌بندی در این سنگ‌ها ناشی از اختلاف فراوانی مдал کانی‌ها، تفاوت در اندازه کانی‌ها و تغییر ترکیب آنها از پایین به رأس مجموعه است. دایک‌هایی با ترکیب اولترامافیک شامل کلینوپیروکسنیت و دونیت و نیز رگه‌هایی با ترکیب گابروی پگماتیتی گابروهای لایه‌ای را در راستاهای مختلف قطع کرده‌اند.

علاوه بر گابروهای لایه‌ای در بخش بالایی واحد گابرویی، مجموعه متنوعی از گابروهای توده‌ای با ضخامت بسیار زیاد در خاور منطقه مورد مطالعه (در مسیر روستاهای جواهرده و جواهردشت) قابل رویتند. این گابروها درشت دانه بوده و از لحاظ ترکیب سنگ‌شناختی شامل ترکیب‌هایی از نوریت، گابرونوریت، گابرو، فروگابرو و هورنبلند گابرو را تشکیل می‌دهند [۶]. گابروهای توده‌ای به وسیله دایک‌های بازالتی متعدد و دایک‌هایی از جنس پلاژیوگرانیت در راستاهای مختلف قطع

رخنمون‌های مناسب، تاکنون از بررسی‌های زمین‌شناختی به دور مانده است. این مجموعه به صورت یک تودهٔ تقریباً عدسی شکل کشیده با روند شمال باخته‌ی جنوب خاوری و به موازات البرز در شمال آن قرار گرفته است.

امروزه معلوم شده است که ترکیب‌های غالب در افیولیت‌ها عموماً بازالت‌های تولئیتی با ماهیت پشت‌های میان اقیانوسی یا فرافرورانشی هستند و در تعداد اندکی از افیولیت‌ها، سنگ‌های تولئیتی با سنگ‌های قلیایی (alkaline) همراه شده‌اند که ویژگی‌های درون صفحه‌ای نشان می‌دهند [۱-۵]. در افیولیت جنوب دریای خزر هر دو نوع سنگ قلیایی و تولئیتی گزارش شده است [۶] [۷].

در این کار پژوهشی تلاش شد تا با اتكا به بررسی‌های صحرایی، سنگ‌شناختی و نتایج ریزپردازشی شیمی کانی‌های اصلی سنگ‌های مافیک و اولترامافیک مجموعه افیولیت جنوب دریای خزر، مدل مناسبی برای علت همراهی مجموعه کانی‌ها و توضیح چگونگی و محیط زمین‌ساختی تشکیل سنگ‌های یاد شده ارائه شود.

جایگاه زمین‌شناسی منطقه

مجموعه افیولیتی جنوب دریای خزر در بخش‌های شرقی استان گیلان (جنوب و جنوب خاوری شهرستان املش) در گستره‌ای به وسعت ۱۸۰ کیلومتر مربع به مختصات جغرافیایی ۵۰°، ۴۹° تا ۳۷°، ۳۶°، ۵۰° طول شرقی و ۱۵°، ۱۴° عرض شمالی رخنمون دارد [۶] (شکل ۱). به طور کلی این منطقه از شمال به سواحل جنوبی دریای خزر و از جنوب به ارتفاعات شمالی رشته کوه البرز محدود می‌شود.

از نظر تقسیمات زمین‌شناسی و ساختاری ایران، این منطقه بخشی از زون گرگان - رشت را تشکیل می‌دهد [۸]. مجموعه افیولیتی این ناحیه زنجیره کاملی از یک پوسته اقیانوسی را نشان می‌دهد که تنها بخش‌های پوسته‌ای آن رخنمون داشته و از پایین به بالا (از خاور به باخته) به ترتیب از واحدهای زیر تشکیل شده است: انباسته‌های اولترامافیک در پایین‌ترین بخش مجموعه پوسته‌ای، گابروهای لایه‌ای، گابروهای توده‌ای (همگن)، منطقهٔ حدواسط بین گابروهای توده‌ای و دایک‌های صفحه‌ای، دایک‌های صفحه‌ای، منطقهٔ حدواسط بین دایک‌های صفحه‌ای و گدازه‌های بالشی و سنگ‌های آتشفسانی (به صورت گدازه‌های بالشی) که با سنگ آهک کامپانین - مائستریشتین حاوی فسیل گلوبوترونکانا پوشیده شده‌اند. به دلیل وجود همین آهکها در

دهند، و در بخش‌های مرکزی فنوکریستهای الیوین، پلاژیوکلاز و کلینوپیروکسن دیده می‌شوند. در هر دو گروه گدازه‌های بالشی و گدازه‌های توده‌ای بافت‌های حفره‌ای با کوارتز، کلریت، کلسیت و اپیدوت پر شده‌اند.

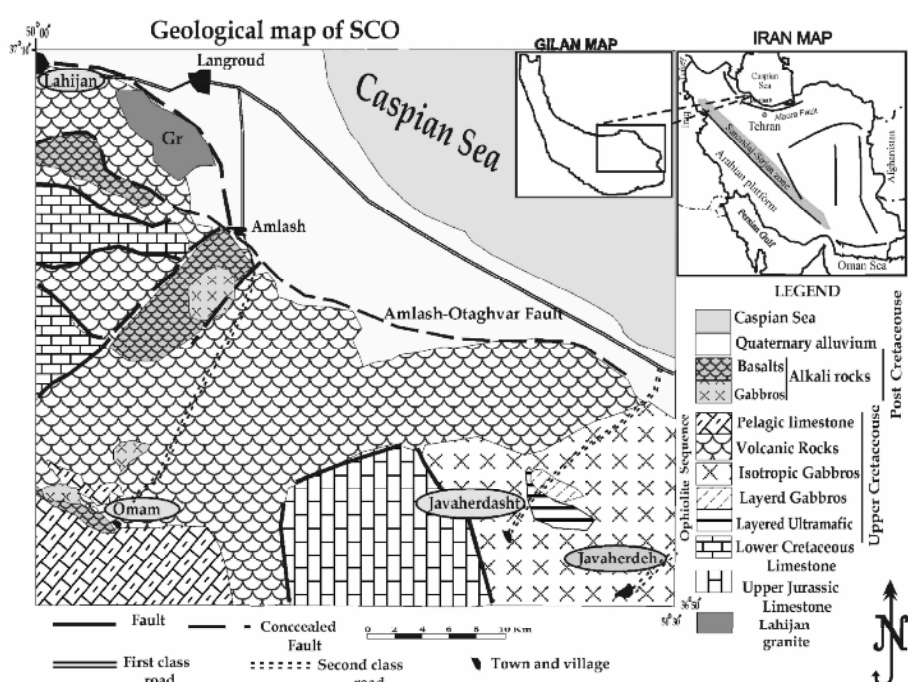
واحد بازالتی با آهک پلاژیک کرتاسه بالایی حاوی میکروفسیل‌های: گلوبوترونکانا استواری، گلوبوترونکانا الواتا، گلوبوترونکانا کونواتا، گلوبوترونکانا کونیکا و گلوبوترونکانا کالکاراتا به سن کامپانین - مائستریشتین پوشیده شده است (شکل ۲F). طبقه‌های آهکی در راستای N110E با شیب ۲۵ درجه به سمت جنوب خاوری قرار دارند. دایک‌هایی از جنس آندزیت و تراکی-آندزیت واحد بازالتی و واحد آهکی را قطع کرده‌اند.

مجموعه کانی‌های ثانویه عموماً با توزیع نایکنواخت، حتی در مقیاس مقطع نازک به طور بخشی تا کامل جایگزین کانی‌های اولیه شده‌اند. مجموعه کانی‌های ثانویه در سنگ‌های مجموعه افیولیتی جنوب دریای خزر (از بازالت تا گابرو) رخساره‌های دگرگون متفاوتی از زئولیت تا شیست سبز را نشان می‌دهند. درجه دگرگونی به سمت پایین مجموعه افیولیتی افزایش می‌یابد و در سنگ‌های گابرویی به شیست سبز می‌رسد [۹].

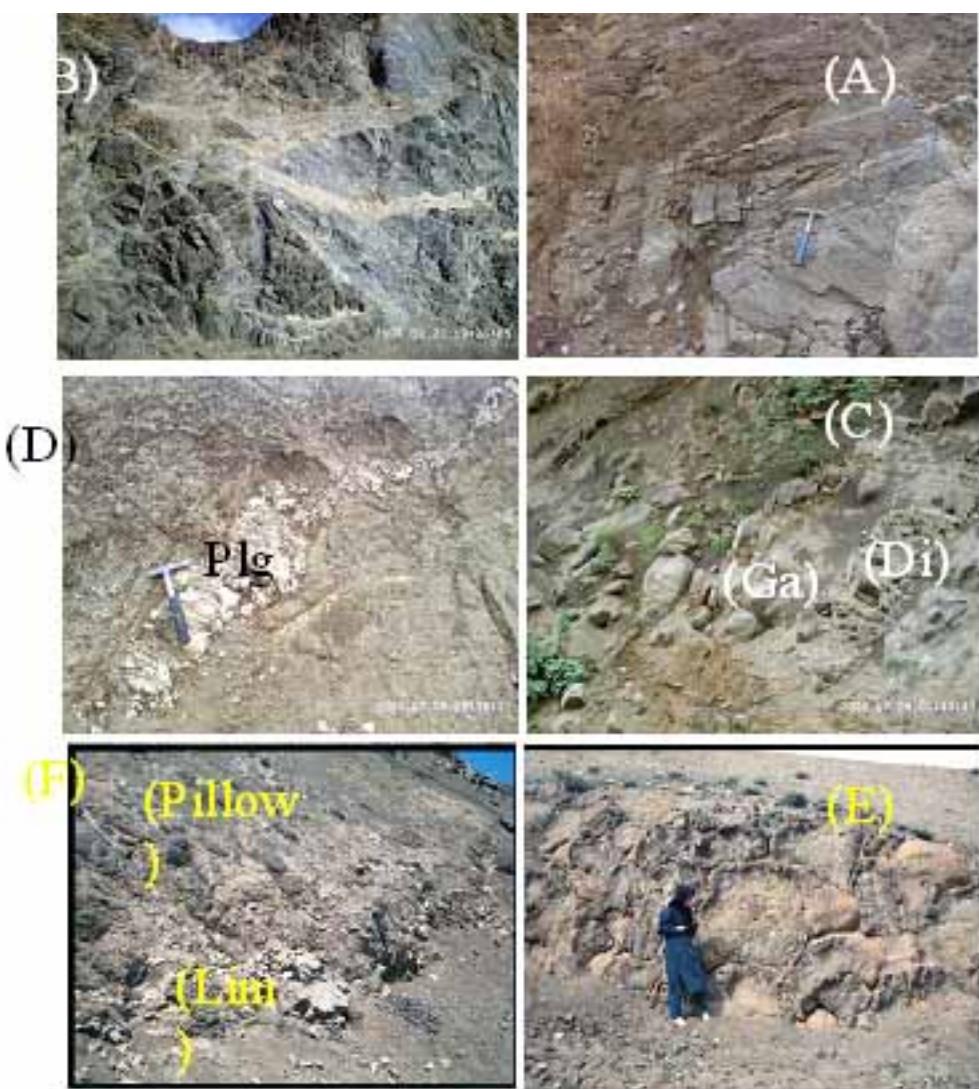
شده‌اند (شکل‌های ۲C و ۲D). تقریباً در تمامی بخش‌ها، گابروهای توده‌ای در حد رخساره شیست سبز دگرگون شده‌اند [۹].

در بخش‌های بالایی، گابروهای توده‌ای به تدریج به تراکم دایک‌های بازیک قطع کننده گابروها افزوده شده و یک منطقه حدواسط مشکل از گابرو و مجموعه دایک‌های ورقه‌ای ظاهر می‌شود. در مجموعه افیولیتی مورد مطالعه واحد دایک صفحه‌ای از گسترش و رخنمون خوبی برخوردار نیست.

در بالای این مجموعه و در قاعدة واحد آتشفسانی (واحد سنگ‌های خروجی)، منطقه حدواسط بین دایک‌های بازالتی و گدازه‌های بالشی دیده می‌شوند که به تدریج به سمت رأس مجموعه به واحد گدازه‌های بالشی تبدیل می‌شود. در مجموعه افیولیتی جنوب دریای خزر سنگ‌های آتشفسانی بیش از واحدهای دیگر گسترش دارند. سنگ‌های آتشفسانی به صورت گدازه‌های بالشی، گدازه‌های توده‌ای و گدازه‌های برشی حدود ۸۰ درصد رخنمون‌های افیولیتی را به خود اختصاص داده‌اند. این سنگ‌ها بیشتر به صورت تپه‌های گرد در رأس ارتفاعات منطقه بروزد دارند. ساخت بالشی متداولترین ویژگی سنگ‌های آتشفسانی این منطقه است (شکل ۲E). اندازه بالش‌ها بین ۱۰ سانتیمتر تا ۱۵ متر متغیر است. بالش‌ها علاوه بر حاشیه‌انجماد سریع، از سطح به مرکز، منطقه‌بندی بافتی نشان می-



شکل ۱ نقشه زمین‌شناسی منطقه بررسی شده (SCO: مجموعه افیولیتی جنوب دریای خزر).



شکل ۲ عکس‌هایی از سنگ‌های بخش‌های مختلف مجموعه افیولیتی جنوب دریای خزر (A) گابروهای لایه‌ای، (B) مجموعه سنگ‌های اولترامافیک، (C) گابروهای توده‌ای و نفوذ دایک‌های بازالتی در آنها (D) گابروها و Di: دایک بازالتی، (Ga) گابروهای بازالتی در آنها (E) دایک پلازیوگرانیتی، (F) گدازه‌های بالشی و آهک‌های پلازیک رویی (Pillow) گدازه (Ga)، (Di) توده (Lim) آهک پلازیک.

ورلیت‌های پلازیوکلازدار هستند که روی زمین از یکدیگر قابل تفکیک و نقشه‌برداری نیستند. دونیت‌ها و کلینوپیروکسنیت‌ها اساساً از الیوین (تا حد زیادی سرپانیتی شده)، کلینوپیروکسن و به مقدار کمتر از کانی‌های کدر تشکیل شده‌اند. الیوین‌ها در دونیت‌ها اندازه‌ای بزرگ‌تر از ۳ میلیمتر دارند و در نتیجه سرپانیتی شدن بافت مش نشان می‌دهند. اندازه کلینوپیروکسن‌ها از ۰/۲ تا ۴ میلیمتر تغییر می‌کنند. آنالیز کمی این سنگ‌ها نشان می‌دهد که ورلیت‌ها از الیوین (۴۹٪)، کلینوپیروکسن (۵۱-۶۰٪) و پلازیوکلاز (۱۲٪-۴۰٪) تشکیل

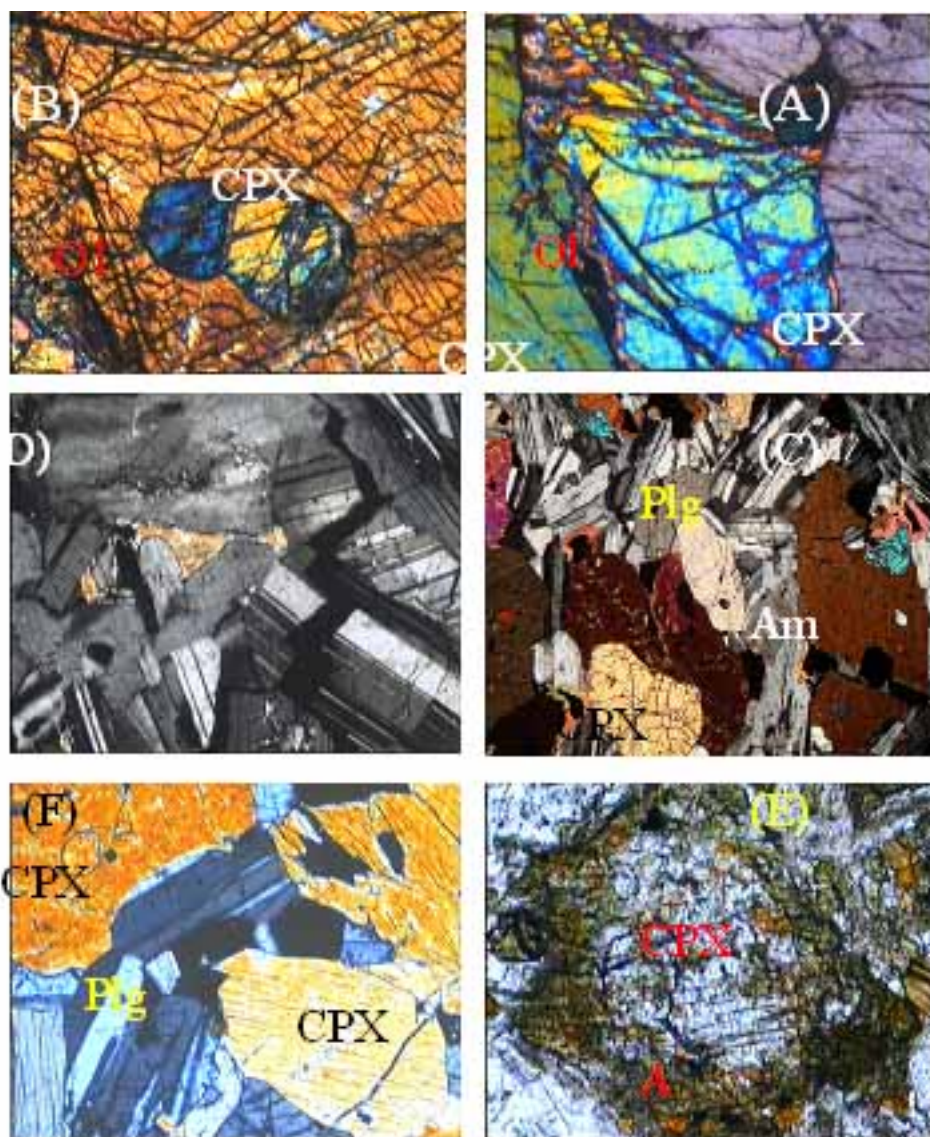
سنگ‌شناختی
حدود ۵۰ نمونه سنگی از توده‌های مختلف الترامافیک و مافیک منطقه برداشت و پس از تهیه مقاطع نازک و نازک-صیقلی مورد مطالعه قرار گرفتند. در این بخش به تفکیک مشخصات میکروسکوپی توده‌های نفوذی الترامافیک و مافیک منطقه تشریح شده‌اند.

سنگ‌های الترامافیک

سنگ‌های اولترامافیک عموماً شامل دونیت، ورلیت، الیوین کلینوپیروکسنیت، کلینوپیروکسنیت و به مقدار بسیار کمتر

تبلور به دلیل کاهش میزان Mg و بالا بودن نسبی Ca، پیروکسن‌های کلسیم‌دار به صورت بلورهای انباسته متبلور شده‌اند و در نهایت با کاهش میزان Ca نسبت به Fe و Mg در اثر تبلور کلینوپیروکسن، بلورهای تأخیری الیوین به صورت بلورهای میان انباست (بلورهای نسل دوم) متبلور، و در فضای بین بلورهای کلینوپیروکسن جایگزین شده‌اند (شکل ۲). بنابراین ترتیب تبلور کانی‌ها در این سنگ‌ها عبارتند از: الیوین نسل اول (محبوس در کلینوپیروکسن) + کلینوپیروکسن (انباسته) + الیوین نسل دوم (میان انباست).

شده‌اند. الیوین کلینوپیروکسنیت و کلینوپیروکسنیت‌ها نیز اساساً از کلینوپیروکسن (۶۰-۹۰٪) و الیوین (۱۰-۴۰٪) تشکیل شده‌اند. در این سنگ‌ها بلورهای الیوین به دو صورت و در دو نسل مختلف حضور دارند، نسل اول بلورهای گرده شده‌ای هستند که در بلورهای کلینوپیروکسن به دام افتاده‌اند (شکل ۳B) و بلورهای کلینوپیروکسن متبلور شده‌اند (شکل ۳A). با توجه به مشاهدات سنگ‌شناختی به نظر می‌رسد که در آغاز تبلور ماقما، الیوین‌های نسل اول متبلور شده‌اند و در ادامه آغاز تبلور ماقما، الیوین‌های نسل اول متبلور شده‌اند و در ادامه



شکل ۳ عکس‌هایی از مقاطع میکروسکوپی سنگ‌های بررسی شده (A) بلورهای میان انباست الیوین‌های نسل دوم بین بلورهای کلینوپیروکسن، (B) بلورهای نسل اول الیوین محبوس در کلینوپیروکسن، (C) نمونه‌ای از لوکتوپیروکسن، (D) آنورتوزیت‌ها، (E) تبدیل کلینوپیروکسن به اکتینولیت (F) بافت همگن در گابروهای توده‌ای. (در همه عکس‌ها طول میدان دید ۲ میلیمتر، Plg: پلازیولاز، CPX: کلینوپیروکسن، Ol: الیوین، Am: آمفیبول).

در بیشتر نمونه‌ها، کانی‌های سازنده لوكوتروکتولیت‌ها به شدت تجزیه شده‌اند، به طوریکه الیوین‌ها به صورت سرپانتینی، و پیروکسن‌ها به صورت ترمولیت - اکتینولیت و پلازیوکلازها به صورت سوسوریت در آمده‌اند.

پیروکسن تقریباً در همه انواع سنگی یافت می‌شوند. در ملاتروکتولیت‌ها و الیوین‌گابروها، کلینوپیروکسن‌ها یا به صورت بلورهای پوئی کلیتیک بزرگ و یا به صورت بلورهای نیمه شکل-دار دیده می‌شوند. در گابروها و فروگابروها پیروکسن‌های پوئی-کلیتیک بسیار کم هستند (حدود ۱۰-۵ درصد).

آنورتوزیت‌ها به صورت بین لایه‌ای نازک به ضخامت چند سانتیمتری در منطقه حضور دارند. از نظر کانی‌شناختی بیش از ۹۵ درصد این سنگ‌ها از پلازیوکلاز و کمتر از ۵ درصد کلینوپیروکسن با ترکیب دیوپسید و کانی‌های کدر تشکیل شده‌اند (شکل ۳D).

گابروهای توده‌ای

گابروهای توده‌ای از نظر گسترش پس از بازالت‌های بالشی، بیشترین سنگ‌های منطقه را شامل می‌شوند و عموماً در بخش خاوری منطقه رخنمون دارند. علاوه بر آن به صورت توده‌های کوچک در زیر گدازه‌های بالشی در باخته منطقه (و پیرامون رستای امام) نیز قابل مشاهده‌اند. گابروهای توده‌ای مژولوکراتند و از نظر بافتی تنوع بسیار زیادی دارند و از الیوین‌گابرو، گابرونوریت، نوریت تا هورنبلندگابرو تغییر ترکیب نشان می‌دهند و عموماً دارای بافت همگن و دانه‌ای هستند (شکل ۳F). علاوه بر پلازیوکلاز، مهمترین کانی‌های سازنده این سنگ‌ها عبارتند از: پیروکسن از نوع دیوپسید، آمفیبول از نوع هورنبلند قهقهه‌ای و یا اکتینولیت‌های سبز رنگ ناشی از دگرگونی گرمایی پیروکسن‌ها (شکل ۳E).

بافت الیوین‌گابروها هیپ ایدیومورفیک تا زینومورفیک است. کانی‌های اصلی تشکیل دهنده این سنگ‌ها شامل پلازیوکلاز، الیوین، کلینوپیروکسن از نوع دیوپسید، مقدار کمی آمفیبول و کانی‌های کدرند.

دگرسانی در تمامی نمونه‌ها به خوبی دیده می‌شود و از انواع متوسط در گابروها تا شدید در التراپاژیک تغییر می‌کند. الیوین‌ها سرپانیتینی بوده و کلینوپیروکسن‌ها غالباً به اکتینولیت و کلریت تبدیل شده‌اند.

شیمی کانی‌ها روش‌های آنالیز

در کار پژوهشی با بهره‌گیری از روش آنالیز ریزپردازشی، ترکیب دقیق بعضی از کانی‌های واحدهای مافینک و اولترامافینک مجموعه افیولیتی جنوب دریای خزر اندازه‌گیری شدند. همه

سنگ‌های مافینک (گابروها)

گابروها به دو صورت گابروهای توده‌ای و گابروهای لایه‌ای در بخش‌های مختلف رخنمون دارند.

گابروهای لایه‌ای

این گابروها تنها به صورت توده‌های کوچکی همراه با دونیت‌ها و پیروکسنتیت‌های سرپانیتینی شده در مسیر رستای جواهر دشت قابل مشاهده‌اند. از نظر سنگ‌شناختی انواع تروکتولیت‌ها، الیوین‌گابروها، تا آنورتوزیت‌ها در آنها مشاهده می‌شوند.

تنوع سنگ‌شناختی در این واحد اساساً نتیجه تغییر در نسبت فراوانی سه کانی الیوین، پلازیوکلاز، و کلینوپیروکسن، و نیز حضور و یا عدم حضور هورنبلند یا کانی‌های کدر است. در بخش‌های پایین‌تر مجموعه گابروهای لایه‌ای که عموماً از پلازیوکلاز فقیرترند، فراوان‌تر است.

در ملاگابروهای انباست (کومولای) زیرین، بافت سنگ از بازانباست (ادکومولای) تا راست انباست (ارتوكومولا) تغییر می‌کند. عموماً از الیوین، کلینوپیروکسن و پلازیوکلاز تشکیل شده‌اند. در این سنگ‌ها پیروکسن و پلازیوکلاز، فازهای انباسته هستند. الیوین‌ها عموماً به صورت دانه‌های گرد شده بزرگی به صورت انباسته در تروکتولیت‌ها و یا به صورت دانه‌های کوچک بی‌شکل در گابروها دیده می‌شوند. پلازیوکلازها به صورت دانه‌های انباسته خودشکل در گابروها و تروکتولیت‌ها و یا به صورت دانه‌های میان انباست کوچک خودشکل در ملاتروکتولیت‌ها مشاهده می‌شوند.

ملاتروکتولیت‌ها پایین‌ترین بخش گابروهای لایه‌ای را تشکیل می‌دهند. آنالیز کمی این سنگ‌ها نشان می‌دهد که از نظر کانی‌شناختی بیش از ۷۵ درصد الیوین، حدود ۲۰ درصد پلازیوکلاز و حدود ۲ درصد کلینوپیروکسن (دیوپسید) و ۲ درصد آمفیبول قهقهه‌ای دارند. بافت این سنگ‌ها باز انباستی است و مقدار کمی آمفیبول و یا کلینوپیروکسن میان انباسته بین الیوین‌ها و پلازیوکلازهای انباسته متبلور شده‌اند. در ترازهای بالا به واسطه افزایش پلازیوکلاز، این سنگ‌ها به لوکوتروکتولیت و سپس با افزایش پیروکسن‌ها به الیوین‌گابرو، گابرو نوریت و در نهایت به فروگابرو تبدیل می‌شوند.

لوکوتروکتولیت‌ها دارای بافت باز انباست تا راست انباست هستند. آنالیز کمی این سنگ‌ها مبین بیش از ۶۵ درصد پلازیوکلاز انباسته، ۱۵ تا ۲۵ درصد الیوین انباسته و میان انباست، ۵ تا ۱۵ درصد کلینوپیروکسن (دیوپسید)، حدود ۱۰ درصد آمفیبول قهقهه‌ای و کمتر از ۳ درصد کانی‌های کدر در این سنگ‌هاست (شکل ۳C). ترتیب تبلور در این سنگ‌ها عبارتست از: پلازیوکلاز → الیوین + کلینوپیروکسن

۵۰ در آزمایشگاه میکروسوند باختر فرانسه و در مرکز فرانسوی دستگاه ریزکاوشگر آنالیز شدند و نتایج کمی این آنالیز به صورت اکسیدهای تشکیل دهنده هر کانی در جدول ۱ درج شدند.

همه پیروکسن‌های بررسی شده روی نمودار $Q=Ca$ - $Mg+Fe^{2+}$ $J=2Na$ [۱۱] در قلمرو پیروکسن‌های کلسیم-منیزیم-آهن دار قرار می‌گیرند (شکل A) و به دلیل کمبود سدیم، همه آنها نزدیک به محور Y ، بین نقاط $Q=1/75$ و $Q=2$ متمرکز می‌شوند. همه پیروکسن‌ها از نظر کانی-شناختی، در سنگ‌های اولترامافیک از نوع دیوپسید هستند (شکل B)، پیروکسن‌های سازنده کلینوپیروکسنیت‌ها و سنگ‌های اولترامافیک ترکیب- $(Wo_{46.63-47.64}En_{42.66})$ با $Mg\#_{46.67}$ برابر با $Fs_{6.15-10.05}$ را نشان می‌دهند.

CAMECA-SX آنالیزها با یک دستگاه ریز پردازنده الکترونی (IFREMER) در شهر بrest انجام شده است. در طول آزمایش‌ها، ولتاژ شتابدهنده دستگاه $15KV$ شدت جریان $10-12 nA$ و زمان شمارش بر حسب نوع عنصر مورد آنالیز بین ۶ تا ۲۵ ثانیه بوده است. برای برآورد مقدار Fe^{3+} در مقایسه با Fe^{2+} کل اندازه‌گیری شده در پیروکسن‌ها، از روش پیشنهادی دروب [۱۰] استفاده شد.

کلینوپیروکسن‌ها

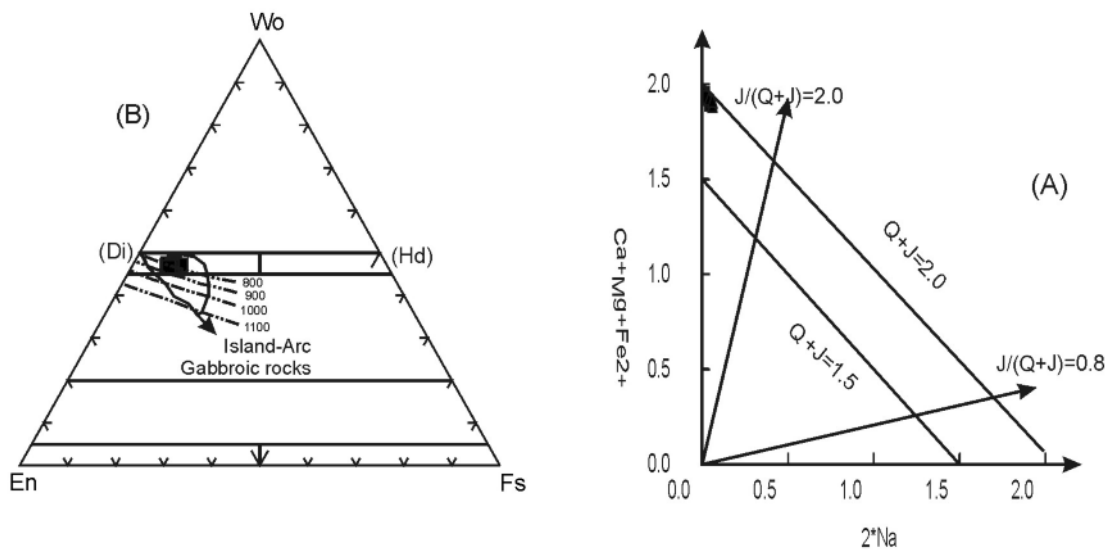
در مجموعه افیولیتی جنوب دریایی خزر فراوانترین کانی هستند که تقریباً در همه بخش‌های مختلف مجموعه یاد شده دیده می‌شوند. این کانی در بخش‌های پایین مجموعه که بیشتر از اولترامافیک‌های پیروکسن‌دار تشکیل یافته‌اند دارای بالاترین فراوانی مдал هستند (به جز در دونیت‌ها). به منظور تعیین عناصر اصلی سازنده پیروکسن‌ها، این کانی‌ها با استفاده از

جدول ۱ نتایج آنالیز ریزپردازی و محاسبه فرمول ساختاری پیروکسن‌های اولترامافیک مجموعه افیولیتی جنوب خزر.

نمونه	S57	S58	S59	S60	S61	S62	S63	S64
$SiO_2(wt\%)$	۵۰.۷۶	۵۳.۱	۵۱.۵۱	۵۳	۵۱/۵۳	۵۴.۰۲	۵۲.۰۲	۵۳.۰۳
TiO_2	۰.۶۱	۰.۴	۰.۵۵	۰.۰۷	۰.۹	۰.۰۴	۰.۳	۰.۰۲
Al_2O_3	۳.۸۸	۲.۴	۳.۱۴	۲.۱	۳.۴	۱.۴	۳.۱۳	۲.۰۱
FeO	۵.۳۲	۴.۳	۵.۳	۴.۶۷	۶.۷۶	۳.۹	۵.۰۹	۴.۷۱
MnO	۰.۲۱	۰.۲	۰.۰۲	۰.۰۲	۰.۰۲	۰.۱	۰.۰۳	۰.۰۵
MgO	۱۵.۲۵	۱۶.۱۴	۱۵.۹۴	۱۶.۴۳	۱۶.۷۹	۱۶.۷۴	۱۵.۹۳	۱۶.۱۹
CaO	۲۳.۰۹	۲۳.۰۸	۲۳.۰۳	۲۲.۹۹	۲۲.۶۸	۲۲.۵	۲۳.۰۸	۲۳.۱۶
Na_2O	۰.۱۷	۰.۰۲	۰.۲	۰.۰۴	۰.۱۳	۰.۰۳	۰.۱۱	۰.۲
K_2O	۰	۰	۰	۰	۰	۰	۰	۰.۰۲
Cr_2O_3	۰.۲۸	۰.۲۹	۰.۱۵	۰.۱۵	۰.۲۷	۰.۲۶	۰.۳۱	۰.۵۲
Total	۹۹.۵۷	۹۹.۹۳	۹۹.۸۴	۹۹.۹۷	۹۹.۹۸	۹۹.۹۹	۱۰۰	۹۹.۹۱

تعداد کاتیونها بر حسب ۶ اکسیژن

	Si	۱.۸۸	۱.۹۴	۱.۹	۱.۹۴	۱.۹۰	۱.۹۷	۱.۹۱	۱.۹۵
Ti	۰.۰۲	۰.۰۱	۰.۰۲	۰	۰.۰۲	۰	۰.۰۱	۰	۰
Al^{IV}	۰.۱۲	۰.۰۶	۰.۱	۰.۰۶	۰.۱۰	۰.۰۳	۰.۰۹	۰.۰۵	۰.۰۵
Al^{VI}	۰.۰۵	۰.۰۵	۰.۰۴	۰.۰۳	۰.۰۵	۰.۰۳	۰.۰۵	۰.۰۳	۰.۰۳
Fe^{3+}	۰.۰۶	۰	۰.۰۶	۰.۰۳	۰	۰	۰.۰۳	۰.۰۳	۰.۰۳
Fe^{2+}	۰.۱۱	۰.۱۳	۰.۱	۰.۱۲	۰.۱۹	۰.۱۲	۰.۱۲	۰.۱۲	۰.۱۲
Mn	۰.۰۱	۰.۰۱	۰	۰	۰	۰	۰	۰	۰
Mg	۰.۸۴	۰.۸۸	۰.۸۸	۰.۹	۰.۸۱	۰.۹۱	۰.۸۷	۰.۸۹	۰.۸۹
Ca	۰.۹۲	۰.۹	۰.۹۱	۰.۹۲	۰.۹۰	۰.۹۲	۰.۹۱	۰.۹۱	۰.۹۱
Na	۰.۰۱	۰	۰.۰۱	۰	۰.۰۱	۰	۰.۰۱	۰.۰۱	۰.۰۱
K	۰	۰	۰	۰	۰	۰	۰	۰	۰
Cr	۰.۰۱	۰.۰۱	۰	۰	۰.۰۱	۰.۰۱	۰.۰۱	۰.۰۱	۰.۰۲
$Mg\#$	۸۸.۷	۸۶.۹۷	۸۸.۸۶	۸۸.۴	۸۰.۸۱	۸۸.۴۳	۸۷.۷۷	۸۸.۲۳	۸۸.۲۳
Wo	۴۷.۵	۴۷.۰۴	۴۶.۶۷	۴۶.۹۷	۴۷.۰۹	۴۷.۰۷	۴۶.۸۸	۴۶.۸۹	۴۶.۸۹
En	۴۳.۶۶	۴۵.۷۸	۴۴.۹۵	۴۵.۷۲	۴۲.۷۳	۴۶.۶۶	۴۵.۰۳	۴۵.۶۱	۴۵.۶۱
Fs	۸۸.۴	۷۱.۱۸	۸.۳۷	۷.۳۱	۱۰.۱۸	۶.۲۶	۸.۰۹	۷.۵۱	۷.۵۱



شکل ۴: A: توزیع پیروکسن‌های سنگ‌های درونی اولترامافیک مجموعه افیولیتی جنوب دریای خزر بر نمودار $J-Q$ [۱۱]، که محورهای آن بر حسب تعداد کاتیون در فرمول ساختاری مدرج شده‌اند. (B): توزیع و تعیین موقعیت کلینوپیروکسن‌های سنگ‌های اولترامافیک منطقه روی نمودار مثلثی ولستونیت(Wo)-انستاتیت(En)-فروسیلیت(Fs) [۱۱]. دماهای تعیین شده بر حسب درجه سیلیسیوس از [۴۹] و قلمرو سنگ‌های گلبرویی از [۳۴].

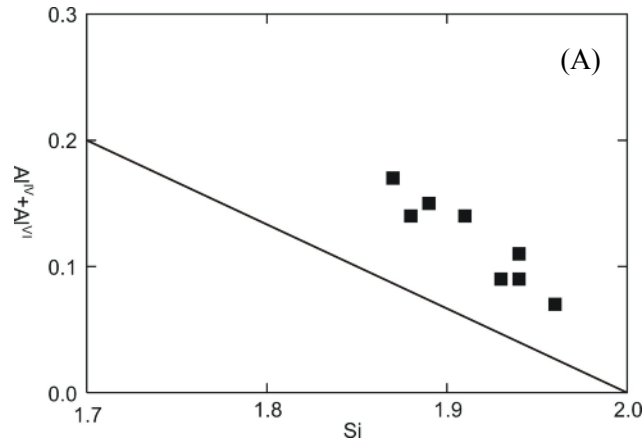
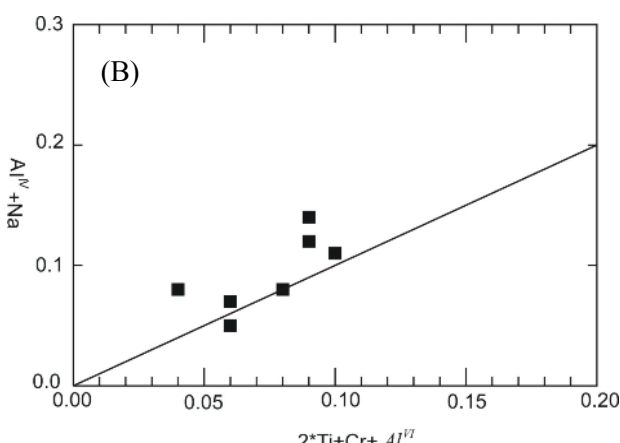
چاروچهی شود، امکان ورود عناصر سه ظرفیتی دیگر (به جز آلومینیوم) مثل Fe^{3+} به موقعیت هشت‌وجهی فراهم‌تر می‌شود. به این ترتیب در نمودار تغییرات $Na^+ Al^{IV}$ نسبت به $Na^+ Al^{VI} + 2Ti + Cr$ با $Fe^{3+} = 0$ خطی که از نقاط موازنۀ $2Ti + Cr$ می‌گذرد، معرف است. لذا قرارگیری نمونه‌ها در بالا و یا زیر خط $Fe^{3+} = 0$ به ترتیب معرف زیاد و یا کم بودن فوگاسیته اکسیژن در محیط تشکیل پیروکسن‌هاست. ضمناً هر چه فاصلۀ نمونه از خط $Fe^{3+} = 0$ بیشتر باشد، نشان می‌دهد که فوگاسیته اکسیژن در محیط تشکیل پیروکسن بیشتر بوده است [۱۴ و ۱۵]. کلینوپیروکسن‌های نمونه‌های الترامافیک بررسی شده، نزدیک به خط $Fe^{3+} = 0$ و گاهی زیر این خط قرار می‌گیرند که حاکی از کم بودن فوگاسیته اکسیژن در محیط تشکیل آنهاست (شکل ۵B).

در ایاشت‌های پایین مجموعه افیولیتی میزان Ti پایین است. مقادیر پایین Ti در کلینوپیروکسن‌های انباشت‌های تولئیتی (0.15 wt\% <), ناشی از تھی شدگی منبع گوشه‌های آنها از Ti است [۱۶ و ۱۷]. بنابراین مقادیر بسیار پایین Ti در این کلینوپیروکسن‌ها می‌باشد. آنها از یک مagma فقیر از Ti است. مagma‌های فقیر از Ti از سرشتی‌های خاستگاه مagma می‌باشند.

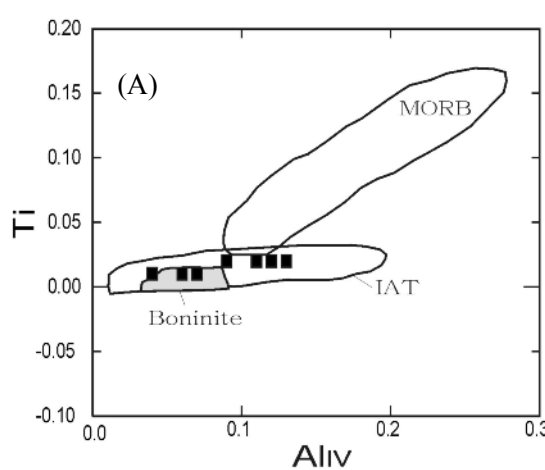
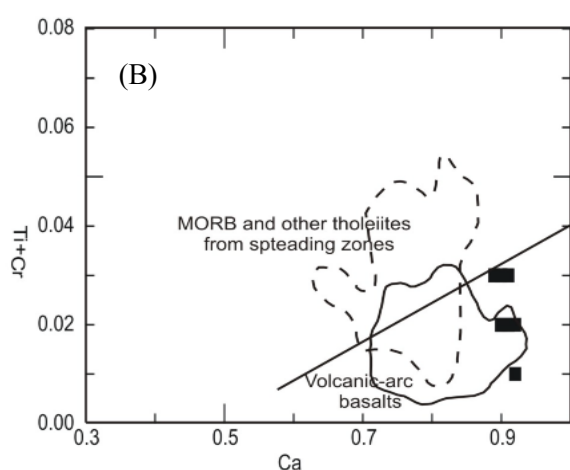
در نمودار Si نسبت به Al (شکل ۵A)، تقریباً همه نمونه‌ها بالای خط اشباع جایگاه چاروچهی ($Si+Al=2$) قرار گرفته‌اند. در این نمودار حضور نمونه‌ها در بالای خط اشباع، معروف کلینوپیروکسن‌هایی است که موقعیت همه چاروچهی‌های آن به وسیله کاتیون Si و بخشی از کاتیون Al^{IV} پر شده و بقیه کاتیون Al^{VI} اضافی (Al^{VI}) نیز به موقعیت هشت‌وجهی وارد شده‌اند. در صورتی که در نمونه‌های زیر خط، علاوه بر این که همه کاتیون Si و Al وارد موقعیت چاروچهی شده‌اند، به دلیل کامل نشدن این موقعیت، پذیرای کاتیون Al^{VI} سه ظرفیتی دیگر از قبیل Ti, Cr, Fe^{3+} نیز شده‌اند، و به عبارت دیگر این پیروکسن‌ها فاقد آلومینیوم هشت‌وجهی (Al^{VI}) هستند. آهن فریک کلینوپیروکسن‌ها تابعی از فوگاسیته اکسیژن در محیط تشکیل آنهاست که با نمودار تغییرات Na^+ نسبت به $Al^{VI} + 2Ti + Cr$ [۱۲] و [۱۳] قابل ارزیابی است. در ترکیب پیروکسن‌ها عنصر Fe^{3+} می‌تواند جانشین عناصر سه ظرفیتی مثل Ti, Al^{VI} و Cr در موقعیت هشت‌وجهی شود، لذا فراوانی Fe^{3+} در پیروکسن‌ها بستگی به مقدار Al^{VI} دارد، و به عبارتی تابع موازنۀ آلومینیوم در موقعیت چاروچهی و هشت‌وجهی است. بنابراین هرچه Al بیشتری وارد موقعیت

شده است. گاهی مقدار TiO_2 کلینوپیروکسن‌ها به سرعت انجماد ماقما و تبلور آنها وابسته است به طوریکه با افزایش سرعت انجماد، ضریب توزیع Ti افزایش می‌یابد [۲۵] و بنابراین کم بودن مقدار TiO_2 در کومولاهای الترامافیک، می‌تواند نشانه سرد شدن آهسته آنها باشد (شکل ۷A). مقدار Cr_2O_3 در کلینوپیروکسن‌های سنگ‌های اولترامافیک نسبتاً بالا است (در ورليت‌ها حدود ۰.۵ wt% و در کلینوپیروکسنيت‌ها ۰.۱۵ wt%) و با کاهش $Mg\#$ از مقدار آن کاسته می‌شود که اين احتمالاً به تهی شدگی تدریجی ماقما از Cr وابسته است [۲۶].

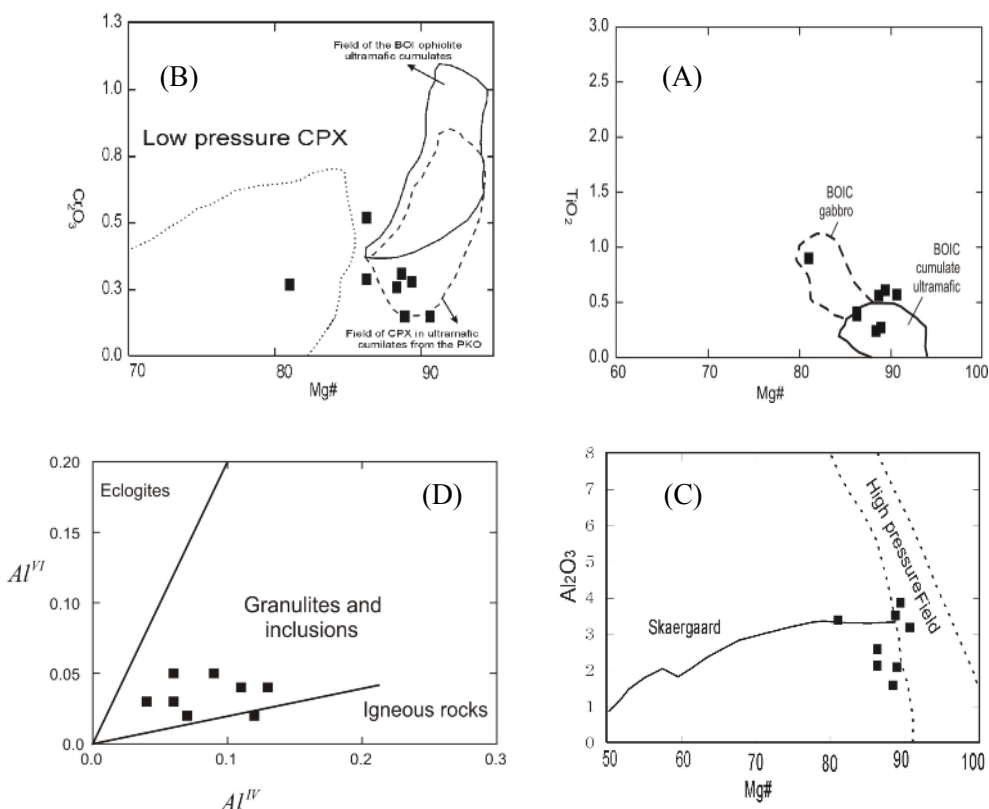
افیولیت‌های مدیترانه شرقی است که تشکیل آنها در جایگاه‌های فرافروانشی ثابت شده است [۱۸] (شکل ۶A). $Mg\#$ نسبت به TiO_2 ، کلینوپیروکسن‌های سنگ‌های الترامافیک افیولیت جنوب دریای خزر در شکل ۷A نشان می‌دهد. اصولاً کلینوپیروکسن‌های با $Mg\#$ بالا، میزان TiO_2 بالایی نیز دارند [۱۹، ۲۰]، ولی این قاعده در مورد کلینوپیروکسن‌های موجود در مجموعه‌های اولترامافیک افیولیت جنوب دریای خزر صادق نیست. در نمونه‌های مورد بررسی هر چه $Mg\#$ کلینوپیروکسن‌ها بالاتر باشد میزان TiO_2 آنها پایینتر است (۰.۱ ~ ۰.۳ wt%). چنین موردی در مجموعه‌های افیولیتی جزیره بای (Bay of island ophiolite) گزیره بای (



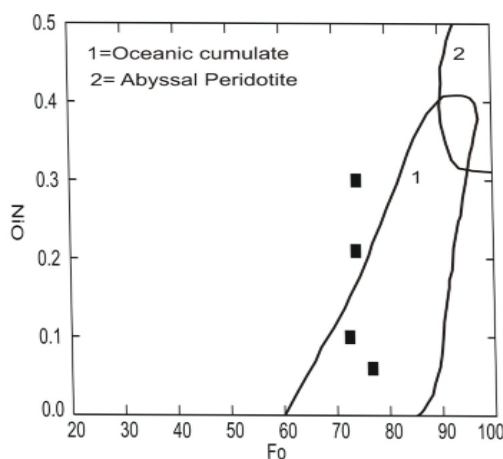
شکل ۵ (A) موقعیت کلینوپیروکسن‌های سنگ‌های اولترامافیک روی نمودار تغییرات $Al-Si$. محورها بر حسب تعداد کاتیون‌ها در فرمول ساختاری مدرج شده‌اند، (B) موقعیت کلینوپیروکسن‌های بررسی شده روی نمودار تغییرات $(Al^{IV}+Na)/2Ti+Cr$ نسبت به Al^{VI} [۱۴، ۱۳].



شکل ۶ (A) نمودار تغییرات Ti برای Al^{IV} نسبت به Al^{IV} برای کلینوپیروکسن‌های بررسی شده. گستره‌های MORB، IAT و بونینیت از [۱۸]. (B) تعیین موقعیت کلینوپیروکسن سنگ‌های اولترامافیک نمونه‌های بررسی شده روی نمودار $Ti+Cr$ نسبت به Ca [۴۲].



شکل ۷ (A) نمودار تغییرات TiO_2 نسبت به $Mg\#$ برای کلینوپیروکسن‌های سنتیک منطقه کلینوپیروکسن‌های سنگ‌های اولترامافیک در گستره نمونه‌های افیولیت جزیره بای (BOI) قرار می‌گیرند [۱۹]. (B) نمودار تغییرات Cr_2O_3 نسبت به $Mg\#$ برای کلینوپیروکسن‌های انباشت‌های گابروی افیولیت پوزانتی-کارزانتی (PKO) از [۱۷] است. گستره کلینوپیروکسن‌های بررسی شده. گستره کلینوپیروکسن‌های انباشت‌های گابروی افیولیت پوزانتی-کارزانتی (PKO) از [۱۷] است. گستره کلینوپیروکسن‌های اولترامافیک افیولیت جنوب خزر که در آن نمونه‌های کلینوپیروکسن‌های بررسی شده در گستره فشار بالا یا نزدیک به آن قرار می‌گیرند، داده‌های پریدوتیت‌های با فشار بالا از [۲۵]؛ گستره روند اسکارگارد از [۲۷]، (C) نمودار تغییرات مختصات Al هشت‌وجهی نسبت به Al چار وجهی در کلینوپیروکسن‌های بررسی شده. گستره‌های ارائه شده از [۳۷] است.



شکل ۸ نمونه‌های بررسی شده در نمودار تغییرات فورستریت نسبت به NiO [۲۸] که در آن الیوین‌های سنگ‌های اولترامافیک تقریباً در گستره کومولاها اقیانوسی قرار می‌گیرند.

الیوین

الیوین‌ها فاکتورهای خوبی برای تعیین درجات نسبی تبلور تفریقی باشند [۲۷، ۲۸] مقدار NiO الیوین‌ها بین ۰-۳ درصد وزنی است، لذا کلیه نمونه‌های الیوین سنگ‌های اولترامافیک روی نمودار تغییرات درصد فورستریت نسبت به درصد وزنی اکسید نیکل (شکل ۸) در قلمرو انباشت‌های اقیانوسی [۲۸] قرار می‌گیرند. $\text{Mg}^{\#}$ الیوین‌ها نسبت به $\text{Mg}^{\#}$ کلینوپیروکسن‌های موجود در همان سنگ‌ها بسیار پایینتر است و این امر احتمالاً میین تبلور زودرس کلینوپیروکسن نسبت به الیوین در نمونه‌های (در بررسی‌های سنگ‌شناختی الیوین‌های میان انباشتی بین کلینوپیروکسن نیز مovid این مسئله است، شکل ۲).

در مجموعه افیولیتی جنوب دریای خزر، کانی الیوین به فراوانی در بخش‌های پایینی مجموعه دیده می‌شود. به طوریکه در دونیت‌ها و الیوین کلینوپیروکسنیت‌ها از فازهای اصلی کانیایی محسوب می‌شوند. به تدریج به سمت بخش‌های بالایی مجموعه از میزان آن کاسته می‌شود. نتایج آنالیز ریزکاوشی ۶ نمونه الیوین از سنگ‌های اولترامافیک مجموعه در جدول ۲ ارائه شده‌اند. ترکیب بلوری الیوین‌ها یکنواخت و فاقد منطقه‌بندی هستند. میزان Fo آنها در سنگ‌های انباشتی اولترامافیک متفاوت، و بین ۷۳ تا ۷۶ درصد در ورليت و ۷۳ تا ۷۴/۸ درصد در الیوین کلینوپیروکسنیت متغیر است. میزان NiO از ورليت به سمت کلینوپیروکسنیت کاهش می‌یابد. تصور می‌شود که

جدول ۲ نتایج آنالیز کانی الیوین در سنگ‌های اولترامافیک.

نمونه	S10	S11	S12	S13	S14	S15
$\text{SiO}_2(\text{wt}\%)$	۳۸,۳۱	۳۵,۴۲	۳۸,۵۸	۳۸,۰۱	۳۸,۰۷	۳۸,۰۲
TiO_2	۰	۰	۰	۰,۰۶	۰	۰
Al_2O_3	۰	۰,۰۲	۰	۰	۰,۰۱	۰,۰۳
FeO	۲۱,۴۴	۲۴,۵۲	۲۳,۲۸	۲۳,۱	۲۳,۱	۲۳,۱۶
MnO	۰,۳۵	۰,۳۹	۰,۳۹	۰,۲۶	۰,۳۱	۰,۲۵
MgO	۳۹,۸۳	۳۶,۴	۳۷,۱۳	۳۸,۱۹	۳۸,۴۹	۳۸,۵
CaO	۰	۰,۰۷	۰,۰۶	۰	۰	۰
Cr_2O_3	۰	۰	۰,۰۱	۰,۰۱	۰	۰,۰۳
NiO	۰,۰۶	۰,۱	۰,۲۱	۰,۳	۰	۰
Total	۹۹,۹۹	۹۶,۹۲	۹۹,۶۶	۹۹,۹۳	۹۹,۹۸	۹۹,۹۹

تعداد کاتیونها بر حسب ۴ اکسیژن

Si	۰,۹۹	۰,۹۷	۰,۰۱	۰,۹۹	۰,۹۹	۰,۹۹
Ti	۰	۰	۰	۰	۰	۰
Al	۰	۰	۰	۰	۰	۰
Fe	۰,۴۶	۰,۵۶	۰,۵۱	۰,۵۱	۰,۵	۰,۵۱
Mn	۰,۰۱	۰,۰۱	۰,۰۱	۰,۰۱	۰,۰۱	۰,۰۱
Mg	۱,۵۴	۱,۴۹	۱,۴۵	۱,۴۹	۱,۵	۱,۵
Ca	۰	۰	۰	۰	۰	۰
Cr	۰	۰	۰	۰	۰	۰
Ni	۰	۰	۰	۰	۰	۰
Fa	۲۳,۱۹	۲۷,۴۲	۲۶,۰۲	۲۵,۳۳	۲۵,۱۸	۲۵,۲۳
Fo	۷۶,۸۱	۷۲,۵۸	۷۳,۹۸	۷۴,۶۷	۷۴,۸۲	۷۴,۷۷
$\text{Mg}^{\#}$	۷۶,۸۱	۷۲,۵۸	۷۳,۹۸	۷۴,۶۷	۷۴,۸۲	۷۴,۷۷

بحث

Cr_2O_3 کلینوپیروکسن‌ها نسبت به $\text{Mg}^{\#}$ در شکل ۷B نشان داده شده است. نمونه‌هایی از انباشت‌های گابروی افیولیت‌های پوزنتی-کارزانتی (PKO) [۳۳]، نمونه‌هایی از انباشت‌های Bay of island الترامافیک در مجموعه افیولیتی جزیره بای (ophiolite complex) [۲۱، ۲۲] و گستره کلینوپیروکسن‌ها در فشار پایین N-MORB [۱۹] نیز برای مقایسه در این نمودار ارائه شده‌اند. چنانکه ملاحظه می‌شود کلینوپیروکسن-های انباشت‌های اولترامافیک افیولیت جنوب دریای خزر، $\text{Mg}^{\#}$ بالاتری داشته، و بر خلاف کلینوپیروکسن‌های تشکیل شده در محیط‌های با فشار پایین به سمت Cr_2O_3 بالاتر تمایل دارند و در مقایسه با کلینوپیروکسن‌های با فشار پایین گستره متفاوتی را نشان می‌دهند به طوری که تقریباً با گستره افیولیت که مربوط به کلینوپیروکسن‌های فشار متوسط تا بالاست [۲۲] همخوانی دارند. در ضمن با انباشت‌های اولترامافیک و گابروهای قبرس [۲۴] و توده‌های کوههای آرم در شمال مجموعه افیولیتی جزیره‌بای [۲۳-۲۱] نیز ارتباط مشابهی نشان می‌دهند. یکنواختی ترکیب فازهای انباشتی و میان انباشتی و نبود منطقه‌بندی در آنها، میان سردشدنی و انجماد آرام و تعادل این سنگ‌هاست [۳۴، ۲۰]. به این ترتیب با توجه به شواهد بالا می‌توان به این نتیجه رسید که نمونه‌های مورد بحث در فشارهای بالای لیتوسفر اقیانوسی متبلور شده‌اند.

مقدار Al_2O_3 کلینوپیروکسن‌های انباشت‌های الترامافیک بین ۰،۹۴ تا ۰،۱۲ متغیر است (جدول ۱). Al_2O_3 کلینوپیروکسن‌ها نسبت به $\text{Mg}^{\#}$ برای سنگ‌های الترامافیک در شکل ۷C نشان داده شده است. کلینوپیروکسن‌های انباشت‌های الترامافیک مقدار Al_2O_3 پایینی نشان می‌دهند (۵ wt%) (~) و چنانکه در شکل دیده می‌شود، در گستره با فشار بالا که توسط مداریس [۳۵] تعریف شده است قرار می‌گیرند، این انباشت‌های با فشار بالا با انباشت‌های الترامافیک مرسین [۲۰]، انباشت‌های الترامافیک مجموعه تانسینا [۲۷] و زینولیت‌های پوسته تحتانی قوس آئووین [۳۶] که همگی حاصل تفرقی بلوری در فشار بالا هستند، قابل مقایسه‌اند. همچنین بر مبنای شکل این سنگ‌ها روندی متفاوت از افیولیت‌های اسکارگارد و افیولیت اسمعیل که محصول تبلور در فشار پایین هستند [۳۳] نشان داده و تقریباً بر آن عمودند (شکل ۷C).

افیولیت‌ها قطعاتی از پوسته‌های اقیانوسی هستند که در اثر فرایندهای زمین‌ساختی و طی فازهای کوهزایی در راستای حاشیه قاره‌ها جایگزین می‌شوند. پوسته اقیانوسی در اثر تفرقی بلوری در اطاک‌های ماقمایی نزدیک به سطح و خروج ماقمایی بازالتی از این اطاک‌ها به درون اقیانوس در یک مرکز گسترش ایجاد می‌شوند. مدل‌های مختلف ارائه شده برای تکوین پوسته اقیانوسی مبین حضور اطاک‌های ماقمایی در اعمق ۱ تا ۷ کیلومتری و در فشارهای معادل ۱ تا ۲۵ کیلوبارند [۲۳] در [۱۷]. بررسی‌های تجربی انجام شده در فشارهای ۱ اتمسفر [۲۹،۳۰] و ۳۱ [۳۱] نشان داده‌اند که از تبلور یک ماقمایی بازالتی اولیه، به ترتیب الیوین (اسپینل)، پلازیوکلаз، کلینوپیروکسن و ارتوبیروکسن تشکیل می‌شود. بر اساس این بررسی‌ها تبلور اولیه مقدار زیاد الیوین از ماقما سبب می‌شود تا قبل از تبلور، کلینوپیروکسن آبگون باقیمانده از MgO تهی شود در نتیجه $\text{Mg}^{\#}$ کلینوپیروکسن‌ها و الیوین‌های همزیست با آنها نسبتاً پایین خواهد بود ($\text{Mg}^{\#} < ۸۲$). التون و همکاران [۲۳] دریافت‌های نتایج حاصل از بررسی‌های انجام شده در فشار ۱ اتمسفر بسیار مشابه با ترتیب تبلوری و ترکیب بلوری مشاهده شده در مورب‌ها هستند. تبلور مورب‌ها در فشارهای پایین سبب ایجاد دونیت، تروکتولیت و الیوین گابرو می‌شود [۲۲، ۳۲]، در حالی که محصولات تفرقی بلوری بازالت‌های اقیانوسی در فشار بالا با تشکیل دونیت، ورلیت، کلینوپیروکسینیت، وسترنیت و لرزولیت همراه است که در آنها کانی‌های مافیک دارای $\text{Mg}^{\#}$ بالایی هستند [۲۲، ۲۳]. وجود سنگ‌های دونیت، ورلیت، الیوین کلینوپیروکسینیت و کلینوپیروکسینیت در سنگ‌های اولترامافیک مجموعه افیولیتی متفاوض با تبلور در فشار پایین، تبلور پلازیوکلاز بر پیروکسن مقدم است. فقدان پلازیوکلاز در سنگ‌های اولترامافیک بررسی شده و یا حضور تاخیری آن به صورت میان انباشت در تعدادی از ورلیت‌های پلازیوکلازدار، نشان می‌دهد که این سنگ‌ها در فشارهای پایین تشکیل نشده‌اند.

علاوه بر موارد یاد شده، ترکیب کانی کلینوپیروکسن نیز در این سنگ‌ها مبین تبلور آنها در محیط با فشار بالاست. نمودار

زمین ساختی تشکیل سنگ‌های آذرین کاربرد گسترهای دارند [۴۲، ۲۸].

در شکل ۹A ترکیب کلینوپیروکسن‌های سنگ‌های بررسی شده روی نمودار Ti-Cr [۴۳] تصویر شده است و چنانکه ملاحظه می‌شود تمامی نمونه‌ها در قلمرو گابروهای اقیانوسی قرار می‌گیرند.

در نمودار تغییرات Cr_2O_3 نسبت به $\text{Mg} \# = 100\text{Mg}/(\text{Mg} + \text{Fe})$ [۳۷، ۳۳] بیشتر نمونه‌ها در خارج از قلمرو MORB و در قلمرو انباسته‌های اقیانوسی قرار می‌گیرند (شکل ۹B). در نمودار Al_2O_3 نسبت به $\text{Mg} \#$ [۲۸] نمونه‌ها در قلمرو انباسته‌های اقیانوسی دیده می‌شوند [۴۴] نمونه‌ها در قلمرو سنگ‌های تولئیتی و (شکل ۹C). در نمودار Al_2O_3 نسبت به SiO_2 [۴۵] عموماً نمونه‌ها غنی از Si بوده و بیشتر در قلمرو سنگ‌های تولئیتی و آهکی-قلیابی (کالک - آلکالن) قرار می‌گیرند (شکل ۹D)، در این نمودار، نمونه‌ها عموماً از Si غنی بوده و در قلمرو سنگ‌های نیمه‌قلیابی (ساب آلکالن) قرار می‌گیرند. در نمودار $\text{Ti}+\text{Cr}$ نسبت به Ca نمونه‌های اولترامافیک در گستره بازالت-های قوسی واقع شده‌اند (شکل ۹E). علاوه بر آن در شکل (شکل ۹F) نیز نمونه‌های بررسی شده در قلمرو سنگ‌های گابرویی جزایر قوسی قرار دارند.

با توجه به نمودارهای زمین ساختی ارائه شده در این بخش که براساس ترکیب کلینوپیروکسن‌ها استوارند، به خوبی دیده می‌شود که سنگ‌های اولترامافیک بررسی شده از انباسته‌های اقیانوسی هستند و نظری بیشتر افیولیت‌های کرتاسه در مدیترانه شرقی [افیولیت‌های ترودوس، عمان، باهرباسیت (سوریه)، زاگرس و افیولیت‌های ترکیه] دارای ماهیت قوس هستند [۳۲]. بررسیها نشان داده‌اند که در اطاق‌های ماقمایی بخش پایینی قوس‌های نبالغ، مجموعه‌های انباسته‌های اولترامافیک و مافیکی ایجاد می‌شوند که در فشار بالا متبلور شده‌اند، جاییکه الیوین‌ها به دنبال پیروکسن‌ها و پس از آنها پلاژیوکلازال‌ها متبلور می‌شوند [۴۶، ۳۴ و ۴۷].

بنابراین با توجه به ترکیب شیمیایی کلینوپیروکسن‌ها و ترتیب تبلور کانی‌ها در نمونه‌های مورد بررسی، به نظر می‌رسد که سنگ‌های اولترامافیک در محیط فرافورانشی تشکیل شده باشند.

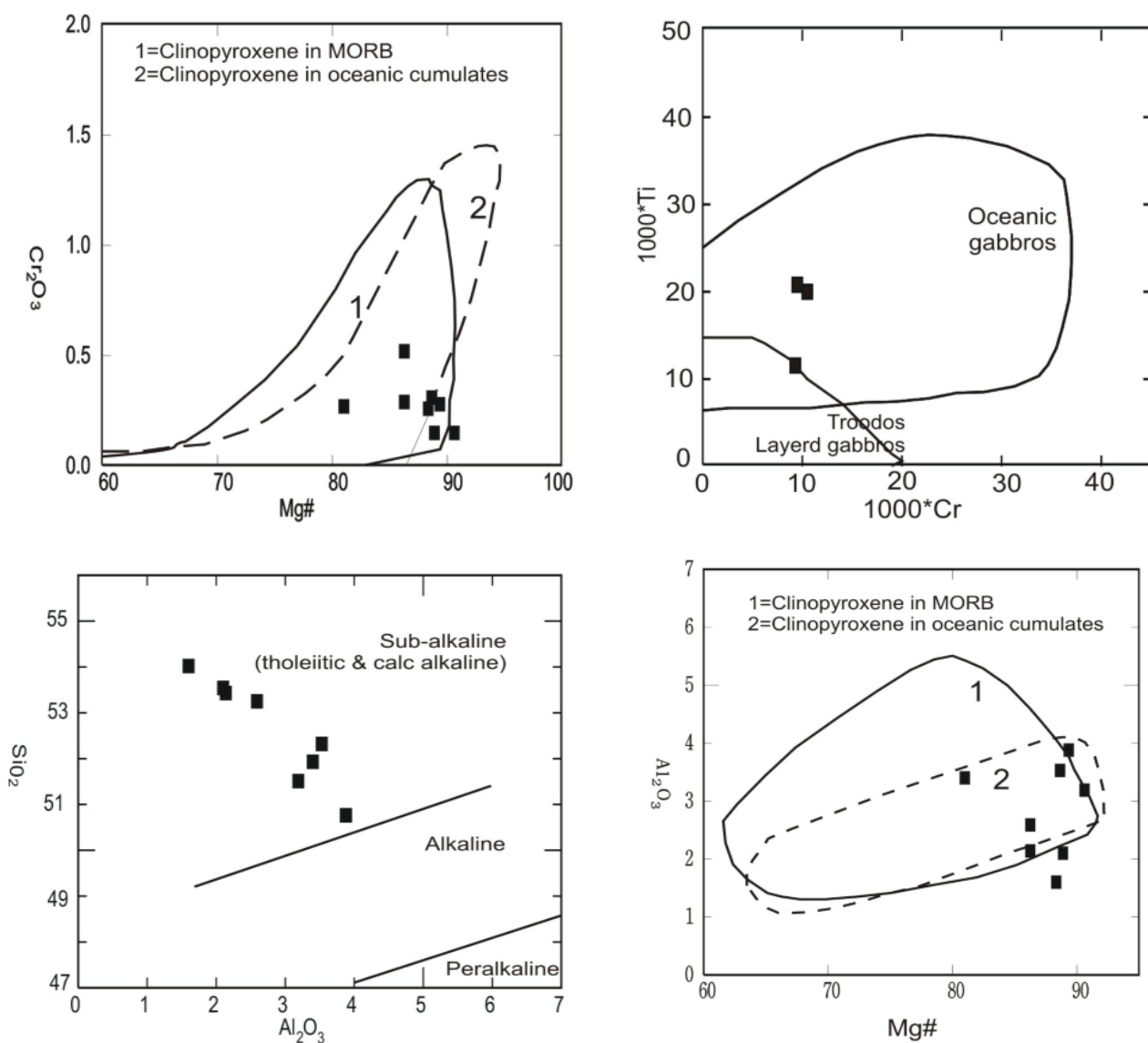
در نمودار Al^{VI} نسبت به Al^{IV} ، که در آن شرایط تبلور و قلمرو کلینوپیروکسن‌های سنگ‌های مختلف ارائه شده است [۲۰، ۳۷، ۳۸]، کلینوپیروکسن‌های سنگ‌های اولترامافیک مجموعه مطالعه شده در میدان گرانولیت‌ها و زینولیت‌های در فشار بالا قرار می‌گیرند (شکل ۷D).

بررسی‌های تجربی نشان داد که در فشار پایین کلینوپیروکسن‌های متبلور از یک ماقمای بازالتی، عموماً # $\text{Mg} \#$ کمتر از ۸۴ دارند [۱۷، ۳۸]. در فشارهای متوسط تا بالا میدان پایداری تبلور الیوین نسبت به پیروکسن کاهش می‌یابد [۳۹، ۴۰] بدین ترتیب با افزایش فشار، میزان تبلور الیوین پیش از کلینوپیروکسن، کاهش می‌یابد و در نتیجه # $\text{Mg} \#$ کلینوپیروکسن‌های همزیست با الیوین بالاتر می‌رود (نظری آنچه که در واحدهای سنگی افیولیت پوزانتی-کارزانتی که محصول تفریق بلوری در فشار بالا هستند دیده می‌شود [۱۷]). چنین ترتیب تبلور در سنگ‌های اولترامافیک مجموعه افیولیتی جنوب دریای خزر نیز قابل مشاهده است به طوریکه # $\text{Mg} \#$ کلینوپیروکسن‌ها نسبت به الیوین‌های میان انباستی نسبتاً بالاتر است. در این سنگ‌ها کلینوپیروکسن‌های با # $\text{Mg} \#$ بالا، احتمالاً پس از تبلور مقدار کمی الیوین (الیوین‌های محبوس در پیروکسن) در اطاق‌ک ماقمایی متبلور شده‌اند.

نتایج داده‌های ژئوشیمیایی انباسته‌های اولترامافیک افیولیت جنوب دریای خزر نشان می‌دهند که این سنگ‌ها از فرایند تبلور تفریقی از یک آبگون بازالتی در فشارهای متوسط تا بالا (بالاتر از ۱۰ Kbar) تشکیل شده‌اند. نبود منطقه‌بندی در کانی‌های کلینوپیروکسن نشان دهنده انجام آرام در طول تبلور است. تبلور آرام و کانی‌های بدون منطقه‌بندی می‌تواند مبین تبلور در محیط با فشار بالا باشد [۴۱]. در نتیجه به نظر می‌رسد که شیمی کانی‌های سنگ‌های پوسته پایینی در مجموعه افیولیتی جنوب دریای خزر در اثر تفریق بلوری در فشار بالا (حدود ۱۰ تا ۱۵ کیلوبار) از یک ماقمای بازالتی ایجاد شده باشند.

جایگاه زمین ساختی

ترکیب شیمیایی کلینوپیروکسن‌ها تابع ترکیب شیمیایی و محیط زمین ساختی تشکیل ماقماهای میزانشان است و به همین جهت به عنوان یک معیار مناسب برای تشخیص محیط



شکل ۹ (A) موقعیت کلینوپیروکسن‌های سنگ‌های اولترامافیک مجموعه افیولیتی جنوب دریای خزر روی نمودار Ti-Cr [۴۳]، (B) نمونه‌های بررسی شده روی نمودار دو متغیره Cr_2O_3 نسبت به $\text{Mg}^{\#}$ [۲۸]، (C) تعیین موقعیت کلینوپیروکسن‌های سنگ‌های مطالعه شده روی نمودار Al_2O_3 نسبت به SiO_2 [۲۸]، (D) نمودار تغییرات Al_2O_3 نسبت به $\text{Mg}^{\#}$ [۴۵] برای کلینوپیروکسن‌های سنگ‌های اولترامافیک مجموعه افیولیتی جنوب دریای خزر [۴۵].

- ۳- بر اساس شواهد سنگ‌شناختی و $\text{Mg}^{\#}$ کانی‌ها، کلینوپیروکسن‌ها به صورت انباشتی و پیش از الیوین‌های نسل دوم متبلور شده‌اند.
- ۴- ترتیب تبلوری کانی‌ها در این سنگ‌ها (الیوین‌های نسل اول + کلینوپیروکسن + الیوین‌های نسل دوم)، نبود پلازیوکلاز در آنها، حضور سنگ‌های دونیت، ورلیت، الیوین کلینوپیروکسنت و کلینوپیروکسنت، $\text{Mg}^{\#}$ بالای کلینوپیروکسن‌ها (>84) و

برداشت

- ۱- ترکیب کانی‌ها در انباشته‌های اولترامافیک افیولیت جنوب دریای خزر سرشتی‌های متفاوت از ماقماهای والد نوع MORB در فشار پایین [۳، ۴۸] نشان می‌دهند.
- ۲- بررسی‌های سنگ‌شناختی سنگ‌های اولترامافیک می‌بین حضور دو نسل الیوین در این سنگ‌هاست.

- 20(1992b) 149-1 52.
- [۶] صلواتی م، "بررسی زمین شناسی و پتروژئنر سنگهای ماقمایی منطقه جنوب املش" رساله کارشناسی ارشد، دانشگاه تهران، دانشکده علوم، (۱۳۷۹)، ۱۵۹ صفحه.
- [۷] Salavati, M., Kananian, A. , Noghreian, M., Darvishzadeh, A. and Samadi Soofi, A. 2008. "Discovery of a Neo-Tethyan ophiolite in the north of Iran and evidence for its formation at a slow-spreading center", General Contributions, Journal of the Virtual Explorer, Electronic Edition, ISSN 1441-8142, Volume 28. (2008) [online] Available fromhttp://virtualexplorer.com.au/journal/2008/28/[۸] نبوی م.ح، "دبیاچه ای بر زمینشناسی ایران" انتشارات سازمان زمینشناسی کشور، (۱۳۵۵)، ۱۰۹ صفحه.
- [۹] Bazargani-Guilani K., Rabbani M. S., Salavati M." Study of few Zeolitic Occurrences in Guilan Province, Iran ", Iran international zeolite conference (2008) 427-429.
- [۱۰] Droop, G.T.R., "A general equation for estimating Fe^{3+} concentration in ferromagnesian silicates and oxides from microprobe analysis, using stoichiometric criteria", Mineral. Mag. 51 (1987) 431-435.
- [۱۱] Morimoto N., Fabries J., Ferguson AK., Ginzburg I.V., Ross M., Seifert F.A., Zussman J., Akoi K., Gottardi G., "Nomenclature of pyroxenes", Mineral. Mag. 52 (1988) 535-550.
- [۱۲] Bence A.E., Papike J.J., Ayuso R.A., "Petrology of Atlantic island arcs", Bull. Volcanol. 32(1975) 189-206.
- [۱۳] Schweitzer E.L., Papike J.J., Bence E., "Statistical analysis of Clinopyroxenes from deep-sea basalts", Am. Mineral. 64 (1979) 501-513.
- [۱۴] Cameron M., Papike I., "Structural and chemical variations in pyroxenes", Am. Mineral. 66 (1981) 1-15.
- [۱۵] Marcelot G., Maury R.C., Lefevre C., "Mineralogy of Erromango lava New Hebrides: Evidence of an early stage of fractionation in island arc basalts". Lithos, 16 (1983) 135-151.
- [۱۶] Pearce J.A., Norry M.J., "Petrogenetic implications of Ti, Zr, Y and Nb variations in volcanic rocks", Contrib Mineral Petrol 69 (1979) 33-47.
- [۱۷] Parlak O., Hoick V., Delaloye M., "The supra-subduction zone Pozanti-Karsanti ophiolite,

عدم وجود منطقه بندی در کانی‌ها، مغایر با تبلور ماقماهای MORB در فشار پایین بوده و مبین تبلور این سنگ‌ها در فشارهای بالا (> 10 Kbar) است.

- ترکیب کلینوپیروکسن‌ها در این سنگ‌ها مبین تشکیل آنها در محیط جزایر قوسی است.

بنابراین به طور کلی تعبیر و تفسیر داده‌های شیمیایی کانیها در ابانتههای اولترامافیک مجموعه افیولیتی جنوب دریای خزر نشان می‌دهد که سنگ‌های اولترامافیک مجموعه مورد بحث در فشار بالا (> 10 Kbar) و از یک ماقمای بازالتی در محیط قوس یا فرافروانشی تشکیل شده است.

سپاسگزاری

این پژوهش حاصل طرح پژوهشی "بررسی پتروژنتیکی و اقتصادی توده‌های گابرویی خاور استان گیلان" است که با حمایت مالی معاونت پژوهشی دانشگاه آزاد اسلامی واحد لاهیجان انجام شده است، لذا بیدینوسیله از معاونت محترم پژوهشی دانشگاه آزاد اسلامی واحد لاهیجان تقدیر و تشکر به عمل می‌آید.

مراجع

- [۱] Beccaluva L.,Coltortia M.,Giuntab G. and Siena F., "Tethyan vs. Cordilleran ophiolites: a reappraisal of distinctive tectono-magmatic features of supra-subduction complexes in relation to the subduction mode", Tectonophysics 393(2004) 163– 174.
- [۲] Nicholson K.N., Black P.M. and Picard C., "Geochemistry and tectonic significance of the Tangihua Ophiolite Complex, New Zealand", Tectonophysics 321 (2000) 1-15.
- [۳] Bagci U., Parlak O., Hock V., "Geochemical character and tectonic environment of ultramafic to mafic cumulate rocks from the Tekirova (Antalya) ophiolite (southern Turkey)", Geol. J. 41(2006) 193-219.
- [۴] Lippard SJ., Shelton A.N., Gass I.G., "The ophiolite of Northern Oman", Geol. Soc., London. Mem. 11 (1986) 178 pp.
- [۵] Malpas J ., Sporli K.B., Black P.M., Philippa M., Smith I.E.M., "Northland ophiolite. New Zealand. and implications for plate tectonic evolution of the southwest Pacific", Geology

- Tonsina ultramafic– mafic assemblage, Tonsina, Alaska", J. Geophys. Res. 94 (1989) 4373– 4391.*
- [28] Elthon D., Stewart M., Ross D.K., "Compositional trends of minerals in oceanic cumulates", J. Geophys. Res. 97 (1992) 15189– 15199.
- [29] Bender J.F., Hodges F.N., Bence A.E., "Petrogenesis of basalts from the project famous area: experimental study from 0 to 15 kbar", Earth Planet. Sci. Lett. 41(1978) 277–302.
- [30] Fisk M.R., Schilling J.G., Sigurdson H., "An experimental investigation of Iceland and Reykjanes Ridge tholeites: I. Phase relations", Contrib. Mineral. Petrol. 74 (1980) 361–374.
- [31] Dungan M.A., Long P.E., Rhodes J.M., "The petrology, mineral chemistry and one atmosphere phase relations of basalts", from site 395. Init. Rep. Deep Sea Drill. Proj. 45 (1978) 461–472.
- [32] Pearce J.A., Lippard S.J., Roberts S., "Characteristics and tectonic significance of supra-subduction zone ophiolites. In: Kokelaar, B.P., Howells, M.F. (Eds), Marginal Basin Geology", Geological Society, London, Special Publications, 16 (1984) 77– 89.
- [33] Parlak O., "Geochemistry and significance of dyke swarms in the Pozanti– Karsanti ophiolite (Southern Turkey)", Tr. J. Earth Sci. 24 (2000) 29– 38.
- [34] Burns L.E., "The Border Ranges ultramafic and mafic complex, south-central Alaska: cumulate fractionates of island-arc volcanics", Can. J. Earth Sci. 22 (1985) 1020– 1038.
- [35] Medaris, L.G., "High-pressure peridotites in south-western Oregon". Bull. Geol. Soc. Am. 83 (1872) 41– 58.
- [36] DeBari S.M., Kay,S.M., Kay R.W., "Ultramafic xenoliths from Adagdak volcano, Adak, Aleutian Islands, Alaska: deformed igneous cumulates from the Moho of an island arc", J. Geol. 95(1987) 329– 341.
- [37] Aoki K, Kushiro I., "Some clinopyroxenes from ultramafic inclusions in Dreiser Weiher, Eife",. Contrib Mineral Petro1 21(1968)743–749
- [38] Grove T.L., Bryan W.B., "Fractionation of pyroxene– phryic MORB at low pressure: an experimental study", Contrib. Mineral.Petrol. 84 (1983) 293– 309.
- southern Turkey: evidence for high-pressure crystal fractionation of ultramafic cumulates", Lithos. 65 (2002) 205– 224.
- [18] Beccaluva L., Maciotta G., Piccardo G.B., Zeda O., 1989. "Clinopyroxene composition of ophiolite basalts as petrogenetic indicator", Chem. Geol. 77 (1989) 165– 182.
- [19] Elthon D., "Petrology of gabbroic rocks from the Mid-Cayman rise spreading center", J Geophys Res 92 (1987) 658–682
- [20] Parlak O., Delaloye M., Bingöl E., "Mineral chemistry of ultramafic and mafic cumulates as an indicator of the arc-related origin of the Mersin ophiolite (southern Turkey)", Geol Rundsch 85 (1996) 647–661
- [21] Elthon D., Casey J.F., Komor S., "Cryptic mineral chemistry variations in a detailed traverse through the cumulate ultramafic rocks of the North Arm Mountain massif of the Bay of Island ophiolite, Newfoundland", Geol Soc Lond Spec Publ 13 (1984) 83–97.
- [22] Elthon, D., Casey J.F., Komor S., "Mineral chemistry of ultramafic cumulates from the North Arm Mountain massif of the Bay of Islands ophiolite: evidence for high-pressure crystal fractionation of oceanic basalts", J Geophys Res 87 (1982) 8717– 8734.
- [23] Komor S.C., Elthon D., Casey J.F., "Mineralogical variations in layered ultramafic cumulate sequences at the North Arm Mountain massif, Bay of Island ophiolite, Newfoundland", J. Geophys Res. 90 (1985) 7705–7736.
- [24] Hébert .R, Laurent R., "Mineral chemistry of the plutonic section of the Troodos ophiolite: new constraints for genesis of arc-related ophiolites". In: Malpas J, Moores E, Panayiotou A, Xenophontos C (eds) Ophiolites–oceanic crustal analogues. Proc Troodos Ophiolite Symp (1990) 149–163.
- [25] Gamble R.P., Taylor L.A., "Crystal/liquid partitioning in augite: effects of cooling rate", Earth Planet Sci Lett 47 (1980) 21–33.
- [26] Hodges F.N., Papike J.J., "DSDP site 334: magmatic cumulates from oceanic layer 3", J. Geophys. Res. 81 (1976) 4135– 4151.
- [27] DeBari S.M., Coleman R.G., "Examination of the deep levels of an island arc: evidence from the

- 175-I89.
- [45] Le Bas M.J., "The role of aluminum in igneous clinopyroxenes with relation to their parentage", Am. J. Sci., 260 (1962) 267-288.
- [46] Coleman R.G., "Ophiolites and accretion of the North American Cordillera", Bull Soc Geol France 8(1986) 961-968.
- [47] Robertson A.H.F., Poisson A., Akinci O., "Developments in research concerning Mesozoic-Tertiary Tethys and neotectonics in the Isparta Angle, SW Turkey", Geological Journal 38 (2003) 195-234.
- [48] Bagci U., Parlak O., Hoek V., "Whole rock and mineral chemistry of cumulates from the Kizildag (Hatay) ophiolite (Turkey): clues for multiple magma generation during crustal accretion in the southern Neotethyan ocean", Mineralogical Magazine 69 (2005) 39-62.
- [49] Ross M., Huebner J.S., "A pyroxene geothermometer based on composition-temperature relationships of naturally occurring orthopyroxene, pigeonite and augite". In: Extended Abstracts of the Int Conference of Geothermometry and Geobarometry, Pennsylvania State University, University Park, Pennsylvania, 4 pp (1975).
- [39] Presnall D.C., Dixon J.R., O'Dennell T.H., Dixon S.A., "Generation of mid-ocean ridge tholeiites", J. Petrol. 20 (1979) 3-35
- [40] Walker D., Shibata T., Delong S.E., "Abyssal tholeiites from the Oceanographer fracture zone, II, Phase equilibria and mixin", Contrib. Mineral. Petrol. 70 (1979) 111-126.
- [41] Flower M.F.J., Robinson P.T., Schmincke H.U., Ohnmacht W., 1977. "Magma fractionation systems beneath the Mid Atlantic ridge at 36-37°N", Contrib. Mineral. Petrol. 64 (1977) 167-195.
- [42] Leterrier I., Maun R.C., Thonon P., Girard, D., Marchal. M., "Clinopyroxene composition as a method of identification of the magmatic affinities of paleo - volcanic series. Earth Planet", Sci. Lett. 59 (1982) 139-154.
- [43] Lachize M., Lorand J.P., Juteau T., "Calc-alkaline differentiation trend in the plutonic sequence of the Wadi Haymiliyah section. Haylays massif. Semail ophiolite, Oman", Lithos. 38 (1996) 207-232.
- [44] Rampone E., Hofmann A.W., Raczek I., "Isotopic contrasts within the internal Liguride ophiolite (N. Italy): the lack of a genetic mantle-crust link. Earth Planet", Sci. Lett.. 163 (1998)